



ΥΠΟΥΡΓΕΙΟ ΑΝΑΠΤΥΞΗΣ ΚΑΙ ΕΠΕΝΔΥΣΕΩΝ

ΓΕΝΙΚΗ ΓΡΑΜΜΑΤΕΙΑ ΕΡΕΥΝΑΣ ΚΑΙ ΚΑΙΝΟΤΟΜΙΑΣ

ΕΛΛΗΝΙΚΟ ΚΕΝΤΡΟ ΘΑΛΑΣΣΙΩΝ ΕΡΕΥΝΩΝ

46,7 ΧΛΜ ΛΕΩΦ. ΑΘΗΝΩΝ-ΣΟΥΝΙΟΥ, Τ.Θ. 712, Τ.Κ. 19013, ΑΝΑΒΥΣΣΟΣ

## ΤΕΧΝΙΚΗ ΕΚΘΕΣΗ

**Περιβαλλοντική παρακολούθηση του όρου 4.3.4.8 της ΚΥΑ 18744/2020 για την «Χωροθέτηση και έγκριση περιβαλλοντικών όρων Μαρίνας Βουλιαγμένης» (ΦΕΚ 810/Δ/16.12.2020)**

**Αποτελέσματα έρευνας της 18<sup>ης</sup> Φεβρουαρίου 2022**

**Φεβρουάριος 2022**

**Ανάβυσσος**

Επιστημονικός Υπεύθυνος

Βασίλειος Καψιμάλης, Θαλάσσιος Γεωλόγος - Ιζηματολόγος (Δρ)

Διευθυντής Ερευνών, Ινστιτούτο Ωκεανογραφίας/ΕΛ.ΚΕ.Θ.Ε.

Επιστημονικό και τεχνικό προσωπικό από το Ινστιτούτο Ωκεανογραφίας/ΕΛ.ΚΕ.Θ.Ε.

Θεόδωρος Κανελλόπουλος Θαλάσσιος Γεωλόγος-Ιζηματολόγος (Δρ)

Ιωάννης Μόρφης Μηχανικός Ηλεκτρολόγος – Η/Υ (MSc)

Στυλιανός Πετράκης Γεωλόγος - Ωκεανογράφος (Δρ)

## Εισαγωγικές πληροφορίες

### Το έργο

Οι εργασίες βυθοκόρησης του έργου «Επέκταση Μαρίνας Βουλιαγμένης» εκτελούνται σύμφωνα με την ΚΥΑ 18744/2020 για την «Χωροθέτηση και έγκριση περιβαλλοντικών όρων Μαρίνας Βουλιαγμένης» (ΦΕΚ 810/Δ/16.12.2020), αφού έχει προηγηθεί έγκριση της σχετικής Ειδικής Τεχνικής Περιβαλλοντικής Μελέτης για την «Αξιολόγηση ποιότητας βυθοκορημάτων της Μαρίνας Βουλιαγμένης και επιλογή του βέλτιστου θαλάσσιου χώρου επανατοποθέτησης αυτών στον ΝΑ Σαρωνικό Κόλπο» (ΤΕΠΕΜ-ΔΒ-2021).

Το έργο αφορά στην εκσκαφή από τον πυθμένα της λιμενολεκάνης και του περιβάλλοντα χώρου εντός της θαλάσσιας ζώνης (συνολικής έκτασης 54 στρεμμάτων) αδρανούς γαιώδους υλικού, όγκου περίπου 95.000 m<sup>3</sup>, πλήρως απαλλαγμένου από χημικούς οργανικούς (υδρογονάνθρακες και οργανοχλωριωμένες ενώσεις) και ανόργανους (βαρέα μέταλλα) ρύπους. Η γεωτεχνική μελέτη του έργου, η οποία βασίστηκε στην ανάλυση οκτώ γεωτρήσεων, διαπίστωσε την ύπαρξη επιφανειακής στρώσης θαλάσσιων ιζημάτων αμμο-ιλύδους έως αργίλο-αμμώδους σύστασης και μεταβαλλόμενου πάχους (από ελάχιστα εκατοστά μέχρι 1,5 μ). Το υποκείμενο των θαλάσσιων αποθέσεων βραχώδες γεωλογικό υπόβαθρο, το οποίο σε κάποια τμήματα του πυθμένα της μαρίνας αλλά και του παρακείμενου θαλάσσιου χώρου αναδύεται στην επιφάνεια, αποτελείται από νεογενείς μάργες, κροκαλοπαγή-λατυποπαγή και ασβεστόλιθους λατυποπαγούς δομής ή ασβεστολιθικά λατυποπαγή.

Λόγω της αναμενόμενης διάχυσης αιωρημένου υλικού που παράγεται κατά τη διάρκεια των εργασιών βυθοκόρησης και θραύσης του βραχώδους υποστρώματος, απαιτείται περιβαλλοντική παρακολούθηση της θολερότητας, όπως αναφέρεται στον όρο 4.3.4.8.2, «*επιτόπια εξέταση και συλλογή δειγμάτων για τον προσδιορισμό της θολερότητας του θαλασσινού νερού (σε Nephelometric Turbidity Units-NTUs), τουλάχιστον μία φορά την εβδομάδα, εφόσον οι εργασίες διεξάγονται κατά τη διάρκεια της τουριστικής περιόδου. Η εξέταση θα γίνεται σε σημεία που βρίσκονται σε απόσταση 50, 100 και 150 m από το έργο. Εάν διαπιστωθεί σημαντική αύξηση της θολερότητας θα εφαρμόζονται αμέσως επιπρόσθετα μέτρα συγκράτησης των στερεών αιωρήσεων*». Με την από 07/04/2021 Σύμβαση Ανάθεσής Έργου μεταξύ της ΤΕΚΑΛ Α.Ε. και του ΕΛΚΕΘΕ, επιστημονική ομάδα του Ινστιτούτου Ωκεανογραφίας διενέργησε την 15/07/2021 ωκεανογραφική έρευνα για τη μέτρηση της θολερότητας στην υδάτινη στήλη τόσο εντός της μαρίνας όσο και περιμετρικά αυτής, ώστε να αποφευχθεί η διάχυση του παραγόμενου από τις εργασίες εκβάθυνσης πλουμίου εκτός της περιοχής του έργου.

### Η παράμετρος της θολερότητας

Με τον όρο θολερότητα (ή θολότητα, turbidity) εννοείται η απουσία διαύγειας σε ένα υγρό μέσο, η οποία προκαλείται από την παρουσία μέσα σε αυτό διαφόρων οργανικών και ανόργανων σωματιδίων υπό μορφή αιωρούμενου ή/και κολλοειδούς υλικού (1-1000 νανόμετρα). Η θολερότητα είναι ένα θεμελιώδες οπτικό χαρακτηριστικό του υγρού μέσου το οποίο σχετίζεται με την εξασθένηση της έντασης της διερχόμενης φωτεινής ακτινοβολίας λόγω φαινομένων σκέδασης στα σωματίδια της υδάτινης στήλης.

Η μέτρηση της θολερότητας γίνεται με ένα αισθητήρα που ονομάζεται νεφελόμετρο. Η αρχή της μέτρησης βασίζεται στη σύγκριση της έντασης του φωτός που υφίσταται σκέδαση υπό γωνία 90° με την προσπίπτουσα φωτεινή δέσμη στο σωματιδιακό υλικό της υδάτινης στήλης με εκείνη την ένταση του φωτός που υφίσταται σκέδαση κατά τη διέλευσή του από ένα πρότυπο αιώρημα κάτω από τις ίδιες

φυσικές συνθήκες. Σύμφωνα με τον νόμο του Rayleigh ισχύει η παρακάτω σχέση μεταξύ της έντασης του σκεδαζόμενου φωτός και της συγκέντρωσης των σωματιδίων στο υδάτινο μέσο:

$$I_1 = k \frac{V^2}{\lambda^2} n$$

όπου:

$I_1$  είναι η ένταση του σκεδαζόμενου φωτός,

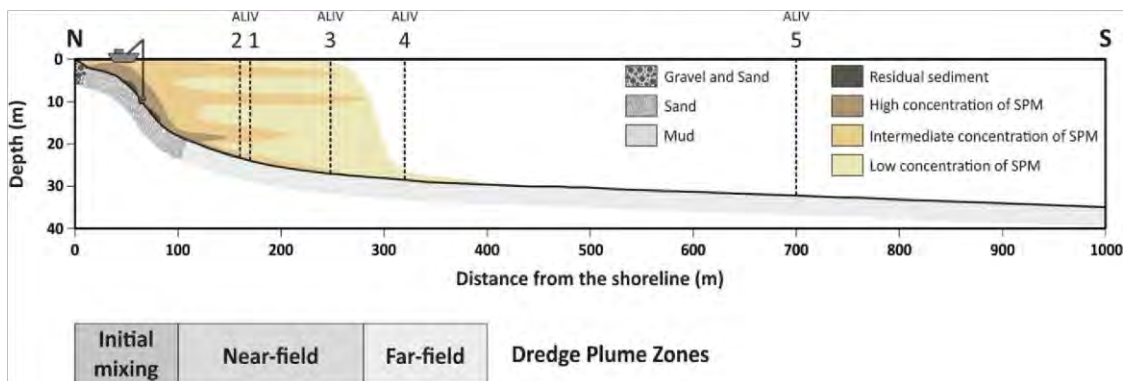
$V$  είναι ο όγκος κάθε σωματιδίου του υδάτινου μέσου (εάν θεωρηθεί ότι όλα τα σωματίδια έχουν τον ίδιο όγκο),  $\lambda$  είναι το μήκος κύματος του φωτός,  $n$  είναι ο αριθμός των σωματιδίων στην μονάδα όγκου του υδάτινου μέσου και, τέλος,  $k$  είναι μία φυσική σταθερά.

Οι μονάδες μέτρησης θολερότητας που έχουν καθιερωθεί από τον Διεθνή Οργανισμό Τυποποίησης (ISO) καθώς και από την Environmental Protection Agency (EPA) είναι η Formazine Turbidity Unit (FTU) και η Nephelometric Turbidity Unit (NTU), αντίστοιχα, με την σχέση τους να είναι 1:1.

### Θολερότητα προερχόμενη από βυθοκόρηση

Κατά τη διάρκεια των εργασιών βυθοκόρησης, σωματίδια ιζημάτων απομακρύνονται από τον πυθμένα και εισέρχονται στην υδάτινη στήλη. Η ποσότητα, η υφή και η ποιότητα των επαναιωρημένων σωματιδίων εξαρτώνται από διάφορους παράγοντες (Luger et al. 1998) που σχετίζονται με: (α) τα χαρακτηριστικά του ιζήματος (μέγεθος κόκκου, πυκνότητα, ορυκτολογία, ικανότητα πρόσφυσης και περιεχόμενο σε οργανική ύλη), (β) τις συνθήκες του χώρου εκσκαφής (βάθος νερού, εκτεθειμένη επιφάνεια, ρεύματα και κύματα που επικρατούν, παρουσία φυσικών ή τεχνητών εμποδίων) και (γ) τις επιχειρησιακές πρακτικές (ρυθμός παραγωγής, πάχος εκσκαφής υλικών, τύπος εξοπλισμού βυθοκόρησης, μέθοδος λειτουργίας και ικανότητα του χειριστή).

Όταν το επαναιωρημένο σωματιδιακό υλικό παραμένει για μεγάλο χρονικό διάστημα σε αιώρηση, παρασύρεται από τα θαλάσσια ρεύματα και μεταφέρεται με μορφή πλουμίου σε περιοχές μακριά από τη θέση βυθοκόρησης. Ανάλογα με τα χαρακτηριστικά του προκύπτοντος νεφελώματος διακρίνονται συνήθως τρεις ζώνες (Εικόνα 1): (α) της «αρχικής ανάμιξης», όπου η δραστηριότητα βυθοκόρησης κυριαρχεί έναντι των φυσικών διεργασιών, (β) του «κοντινού πεδίου», όπου επικρατεί διασπορά και ταχεία καθίζηση αιωρούμενων στερεών, και (γ) του «μακρινού πεδίου», όπου η συγκέντρωση του επαναιωρημένου σωματιδιακού υλικού στην υδάτινη στήλη μειώνεται σταδιακά και τα φαινόμενα της μεταγωγής και καθίζησης ισορροπούν. Ένα άλλο υποπροϊόν των εργασιών βυθοκόρησης είναι το παραμένον (αδιατάρακτο ή αναμοχλευθέν) ίζημα που εμφανίζεται είτε εντός είτε δίπλα στη ζώνη βυθοκόρησης.



**Εικόνα 1:** Ζώνες διάχυσης του νέφους των επαναιωρημένων στερεών υλικών που προέκυψε από εντατική βυθοκόρηση στη περιοχή του Αλιβερίου, Νότιος Ευβοϊκός Κόλπος (Kanellorou et al. 2020).

Το παρόν πρόγραμμα παρακολούθησης της θολερότητας στην Μαρίνα Βουλιαγμένης ακολουθεί την μεθοδολογία και τις κατευθύνσεις που παρουσιάζονται στα τεχνικά εγχειρίδια των van Rijn (2019) και Bundgaard (2020).

## Όρια θολερότητας

Σύμφωνα με τον Παγκόσμιο Οργανισμό Υγείας, το πόσιμο νερό (για κατανάλωση από τον άνθρωπο) θα πρέπει να έχει επίπεδα θολερότητας κάτω από 1 NTU/FTU, αν και για ορισμένες περιοχές, επιτρέπεται έως και 5 NTU/FTU.

Δεν υπάρχουν εθνικά και ευρωπαϊκά θεσμοθετημένα όρια θολερότητας για το θαλασσινό νερό, ωστόσο, στις ΗΠΑ επικρατεί η άποψη ότι τιμές μεγαλύτερες των 25 με 50 NTU/FTU είναι «μη ανεκτές» από πολλούς ευαίσθητους οργανισμούς όπως χέλια, χελώνες, Μαρέκα (Wigeons) και λειμώνες θαλάσσιας βλάστησης, και για αυτό θα πρέπει να αποφεύγονται. Αντίθετα, τιμές μικρότερες των 25 ή 50 NTU είναι «ανεκτές» από τους οργανισμούς και δεν προκαλούν ανεπανόρθωτες βλάβες (βλέπε Πίνακα 1, σελίδα 135 της δημοσίευσης των Clarke and Wilber 2008).

Επίσης, στην Αυστραλία έχει υιοθετηθεί η εξής διαβάθμιση (McCaffrey and Catchment 2018): όταν η θολερότητα είναι >10 NTU η κατάσταση των υδάτων θεωρείται ως «εξαιρετική», όταν κυμαίνεται από 15 έως 30 NTU θεωρείται ως «ικανοποιητική» και όταν είναι >30 NTU θεωρείται ως «φτωχή».

Με δεδομένο ότι στο Όρμο Βουλιαγμένης το πιο ευαίσθητο θαλάσσιο οικοσύστημα στη αύξηση της θολερότητας είναι ο λειμώνας Ποσειδωνίας (δες παραδείγματα στις εργασίες των Ruiz and Romero 2003, Capello et al. 2014, Hounghanan et al. 2020, Li et al., 2021) και σε συνδυασμό με τα προαναφερθέντα όρια, υιοθετείται οι παρακάτω κατηγορίες για τις ζώνες «κοντινού» και «μακρινού» πεδίου κατά τη διάρκεια της ενεργού βυθοκόρησης:

Θολερότητα	FTU
Εξαιρετική	≤1
Φυσιολογική	1-5
Ικανοποιητική	5-15
Ανεκτή	15-30
Μη ανεκτή	>30

## Εξοπλισμός και εργασίες πεδίου

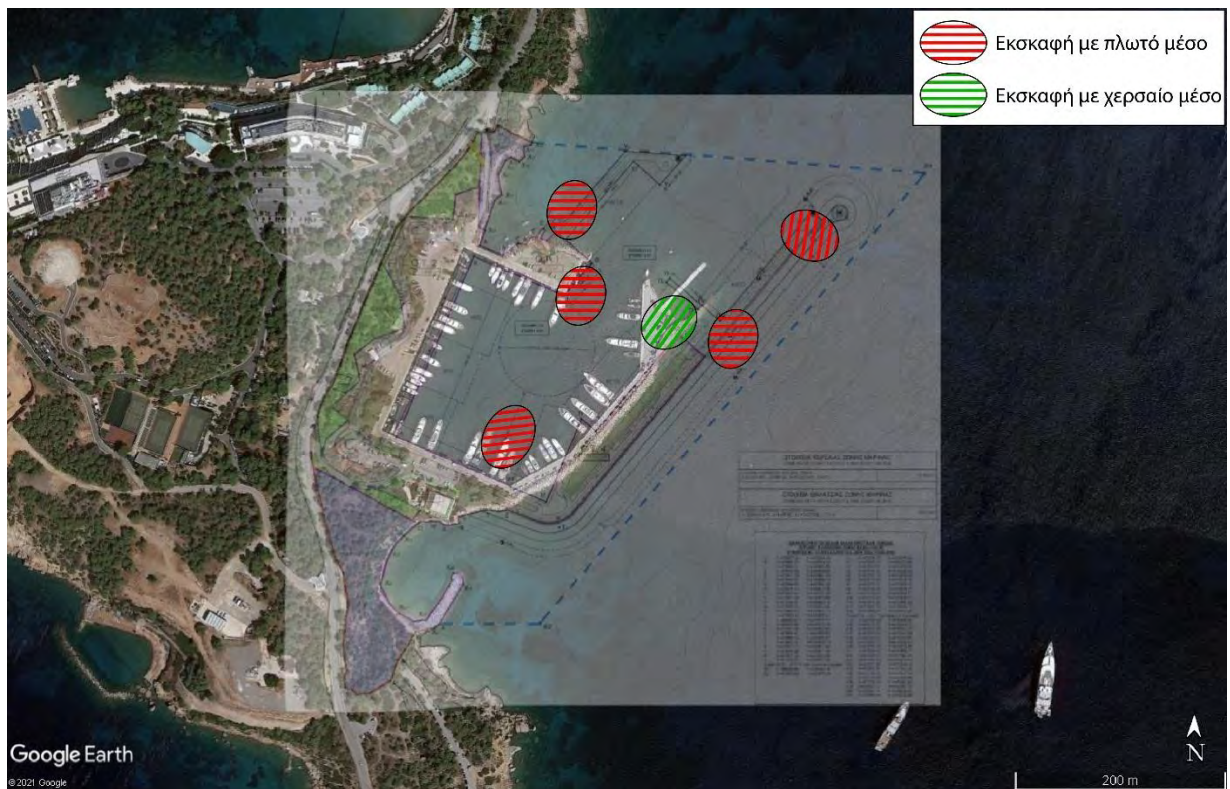
Η συλλογή των μετρήσεων θολερότητας έγινε με τη χρήση του νεφελόμετρου RBRsolo<sup>3</sup> (εύρος μετρήσεων 0-1250 FTU, απόκλιση ±2%) (Εικόνα 2). Την 18<sup>η</sup> Φεβρουαρίου 2022 πραγματοποιήθηκαν κάθετες καταγραφές στην υδάτινη στήλη (από το βάθος του ~1 m μέχρι τον πυθμένα) σε 21 θέσεις, ευρισκόμενες εντός αλλά και περιμετρικά της Μαρίνας Βουλιαγμένης (Εικόνα 3). Η επιλογή των θέσεων πόντισης του αυτογραφικού νεφελόμετρου πραγματοποιήθηκε με βάση τις απαιτήσεις του περιβαλλοντικού όρου 4.3.4.8 της ΚΥΑ 18744/2020 για την «Χωροθέτηση και έγκριση περιβαλλοντικών όρων Μαρίνας Βουλιαγμένης» (ΦΕΚ 810/Δ/16.12.2020) και σε σχέση με τις περιοχές των εκσκαφών (Εικόνα 4).



**Εικόνα 2:** Εργασίες πεδίου με νεφελόμετρο, το οποίο χρησιμοποιήθηκε για τη συλλογή μετρήσεων στην περιοχή του έργου της Μαρίνας Βουλιαγμένης την 18<sup>η</sup> Φεβρουαρίου 2022



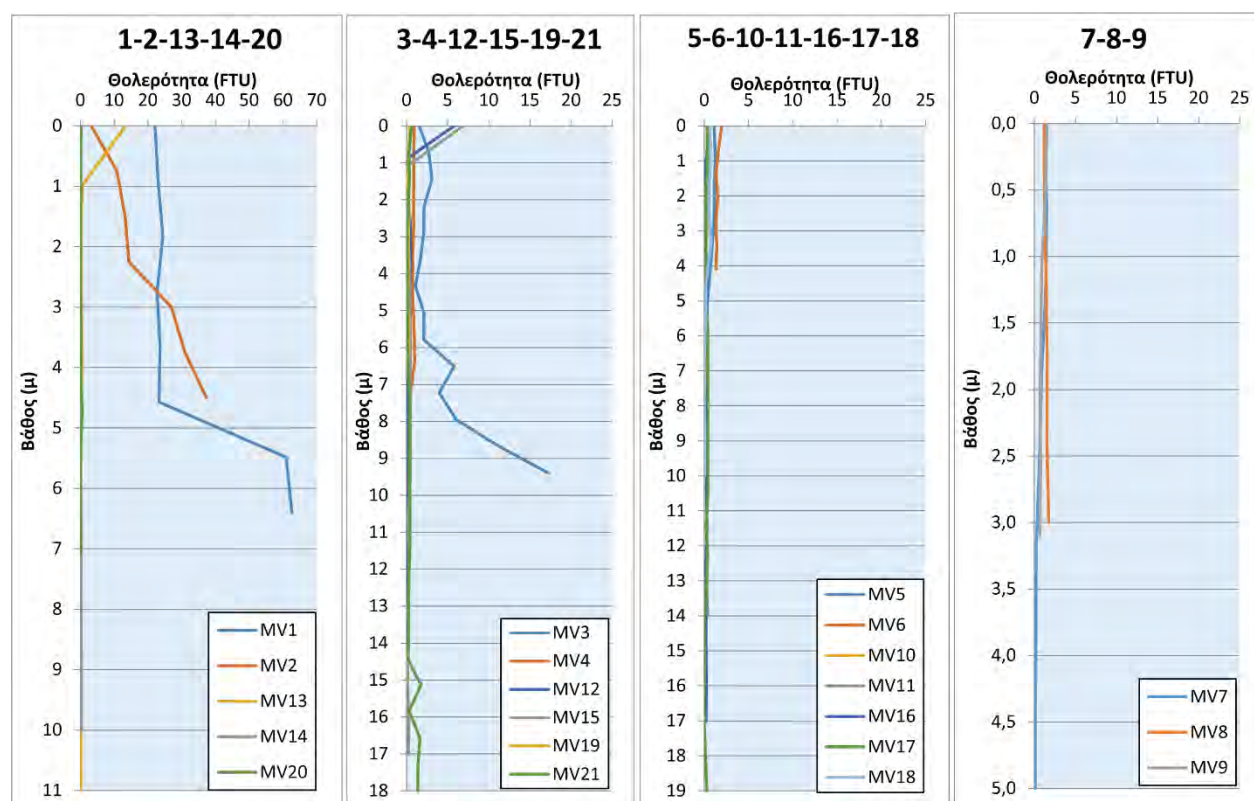
**Εικόνα 3:** Θέσεις μέτρησης της θολερότητας στην περιοχή του έργου της Μαρίνας Βουλιαγμένης κατά τη διάρκεια της 18<sup>ης</sup> Φεβρουαρίου 2022. Η άσπρη, η κόκκινη, η πράσινη, η μπλε, η μωβ και η καφέ γραμμή αντιπροσωπεύουν τις γεωγραφικές θέσεις των τομών των Εικόνων 6α, 6β, 6γ, 6δ, 6ε και 6στ, αντίστοιχα.



**Εικόνα 4:** Ενεργές εκσκαφές/βυθοκορήσεις στην περιοχή των έργου της Μαρίνας Βουλιαγμένης κατά τη διάρκεια της 18<sup>ης</sup> Φεβρουαρίου 2022.

## Αποτελέσματα

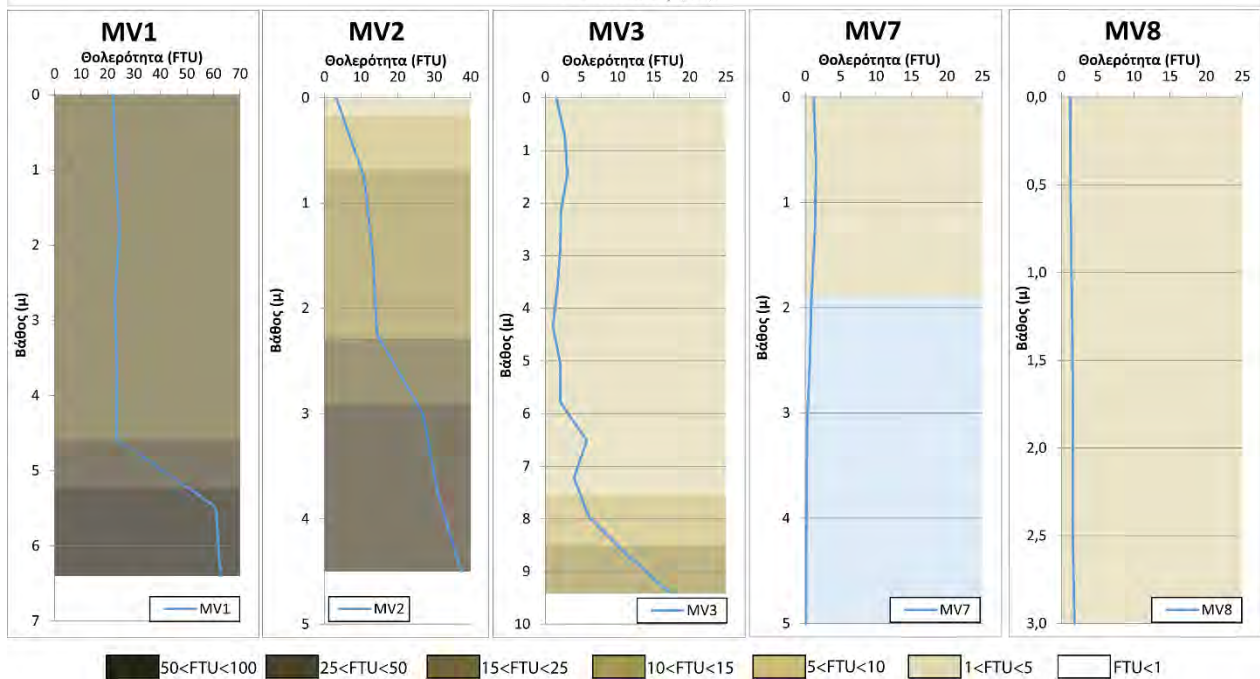
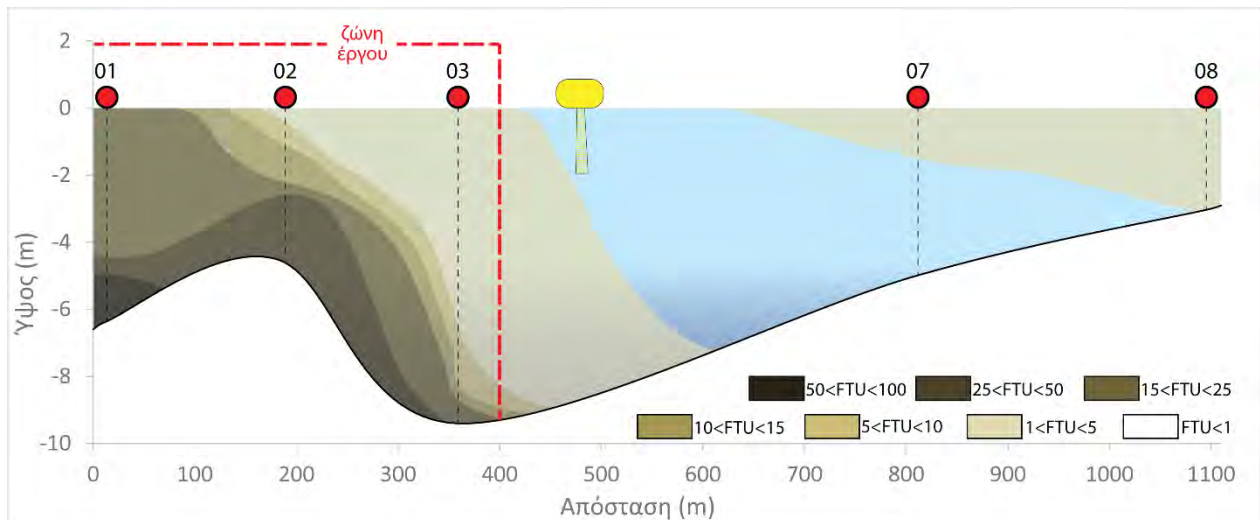
Οι ομαδοποιημένες καταγεγραμμένες κατακόρυφες μετρήσεις της θολερότητας σε όλες τις θέσεις πόντισης του αυτογραφικού νεφελόμετρου φαίνονται στην Εικόνα 5, ενώ οι αναλυτικές τιμές των μετρήσεων παρουσιάζονται στο παράρτημα της παρούσας Τεχνικής Έκθεσης. Οι θέσεις δειγματοληψίας 1-2-13-14-20 είναι εντός ή σε απόσταση έως 100 m από τη μαρίνα, με τις θέσεις 1 και 2 να βρίσκονται εντός της λιμενολεκάνης. Οι θέσεις 3-4-12-15-19-21 είναι περιμετρικά της εξωτερικής περιοχής της μαρίνας, σε απόσταση από 100 έως 200 m από αυτήν, οι θέσεις 5-6-10-11-16-17-18 είναι σε ακτίνα <500 m από τη λιμενολεκάνη, ενώ οι θέσεις 7-8-9 είναι σε ακτίνα <500 m από τη λιμενολεκάνη, προς τη ρηχή περιοχή της παραλίας της Βουλιαγμένης. Σημειώνεται ότι λόγω των ισχυρών νότιων ανέμων και των υψηλών ανεμογενών κυματισμών των τελευταίων εβδομάδων οι προστατευτικές γεωκουρτίνες ιλύος και τα υδατοφράγματα βρίσκονται μόνο στο βόρειο τμήμα του κόλπου, έτσι το τυχόν αιωρούμενο υλικό διασπείρεται ανεμπόδιστο στην υπόλοιπη περιοχή.



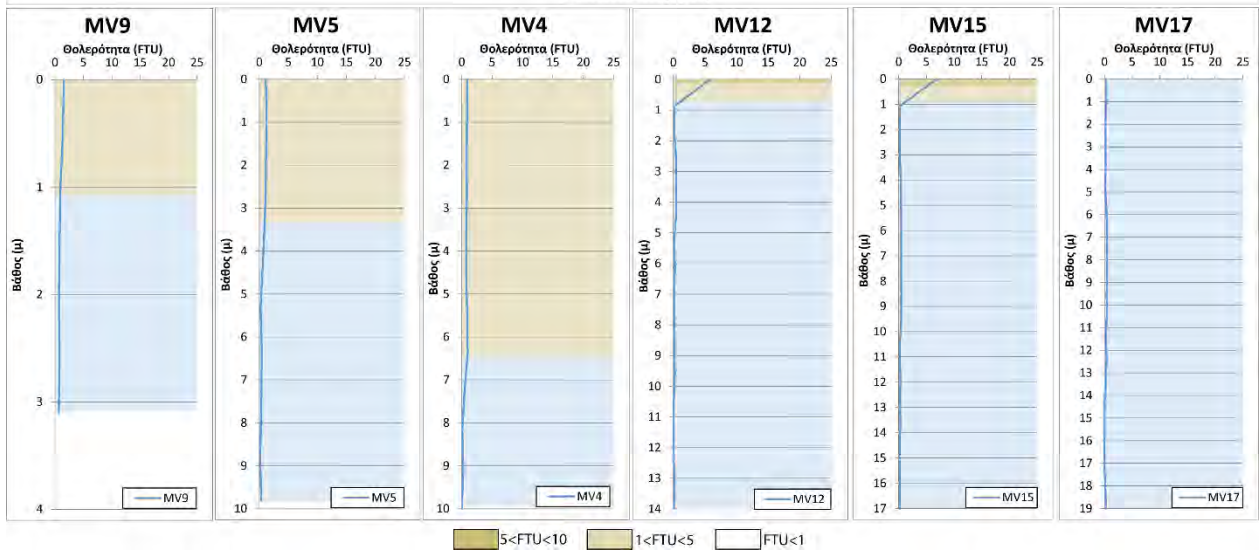
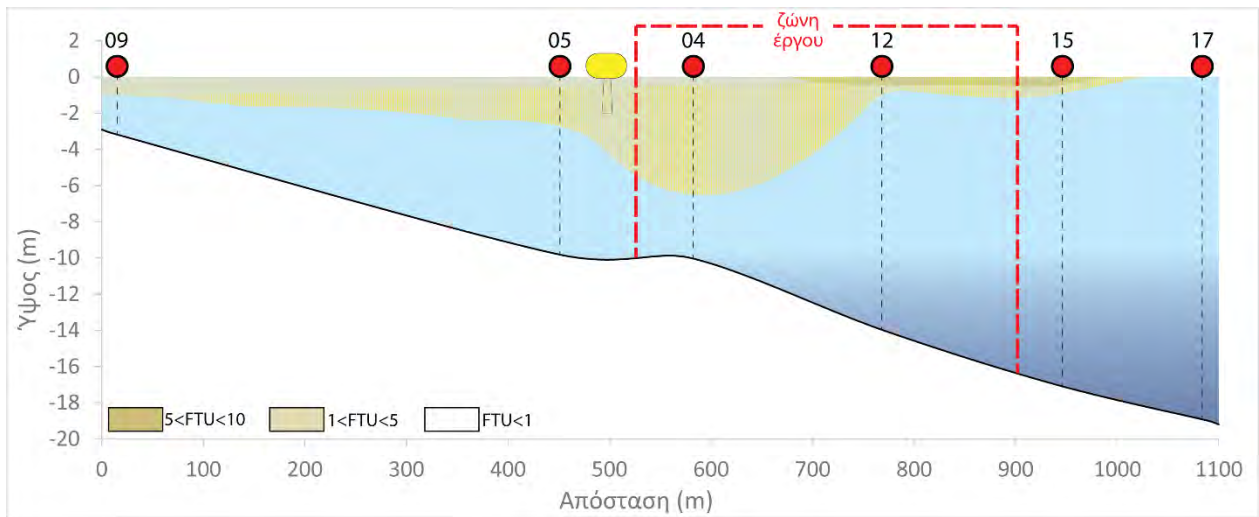
**Εικόνα 5:** Κατακόρυφες καταγραφές της θολερότητας (σε FTU) στην περιοχή του έργου της Μαρίνας Βουλιαγμένης κατά τη διάρκεια της 18<sup>ης</sup> Φεβρουαρίου 2022. Για τις θέσεις των μετρήσεων βλέπε Εικόνα 3.

Εντός της λιμενολεκάνης της Μαρίνας Βουλιαγμένης, στις θέσεις 1 και 2, οι τιμές θολερότητας κυμαίνονταν μεταξύ 3.3 και 62.6 FTU, με τις τιμές θολερότητας να αυξάνονται προοδευτικά με το βάθος. Οι πολύ αυξημένες τιμές θολερότητας της θέσης 1, οφείλονται σε ταυτόχρονη με τη δειγματοληψία βυθοκόρηση εντός της λιμενολεκάνης. Στις θέσεις 13, 14, και 20, βορειοανατολικά, ανατολικά και νοτιοανατολικά της λιμενολεκάνης αντίστοιχα, οι τιμές κυμαίνονται μεταξύ 0,0 και 13,4 FTU, με τις μέγιστες τιμές να παρατηρούνται στο ανώτερο τμήμα της στήλης νερού στη θέση 13, λόγω της εγγύτητας με τη δειγματοληψία βυθοκόρησης.

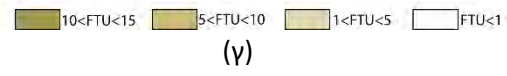
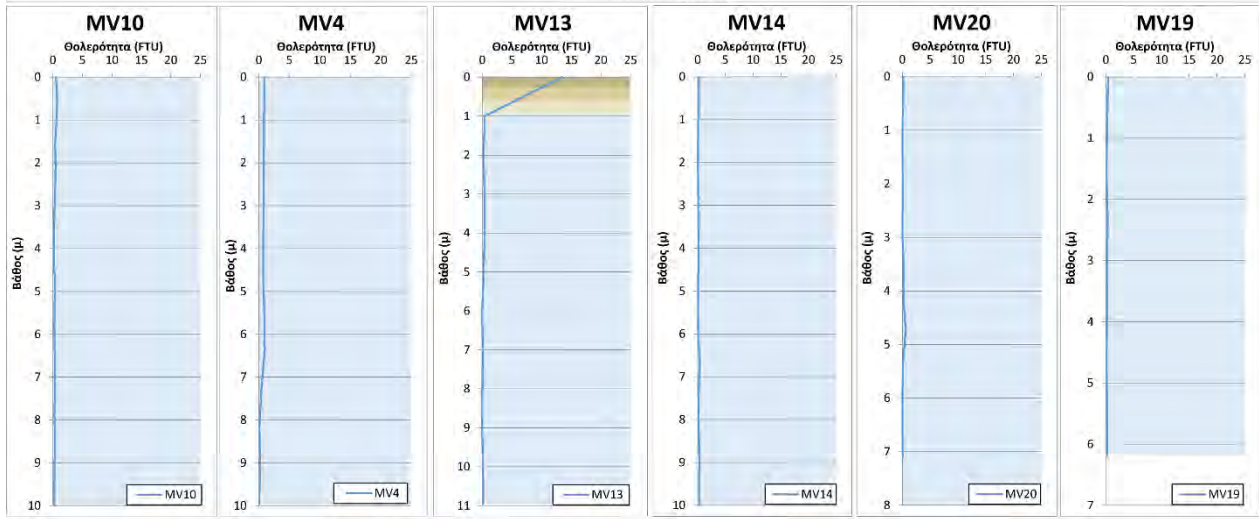
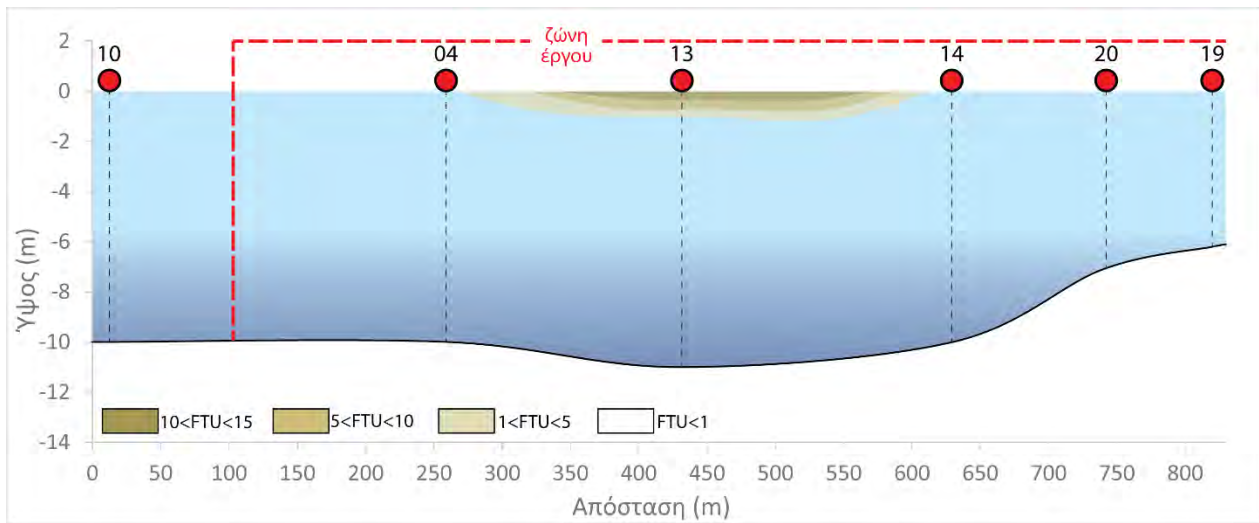
Στις θέσεις 3-4-12-15-19-21, σε απόσταση μεταξύ 100 και 200 m περιμετρικά της μαρίνας, οι τιμές θολερότητας κυμαίνονται μεταξύ 0,0 και 17,2 FTU. Στις θέσεις 5-6-10-11-16-17-18, σε απόσταση μεταξύ 200 και 500 m, οι τιμές θολερότητας δεν ξεπερνούν τα 1,2 FTU. Στις θέσεις 7-8-9, στην περιοχή πλησίον της παραλίας της Βουλιαγμένης οι τιμές θολερότητας δεν ξεπερνούν τα 1,8 FTU.



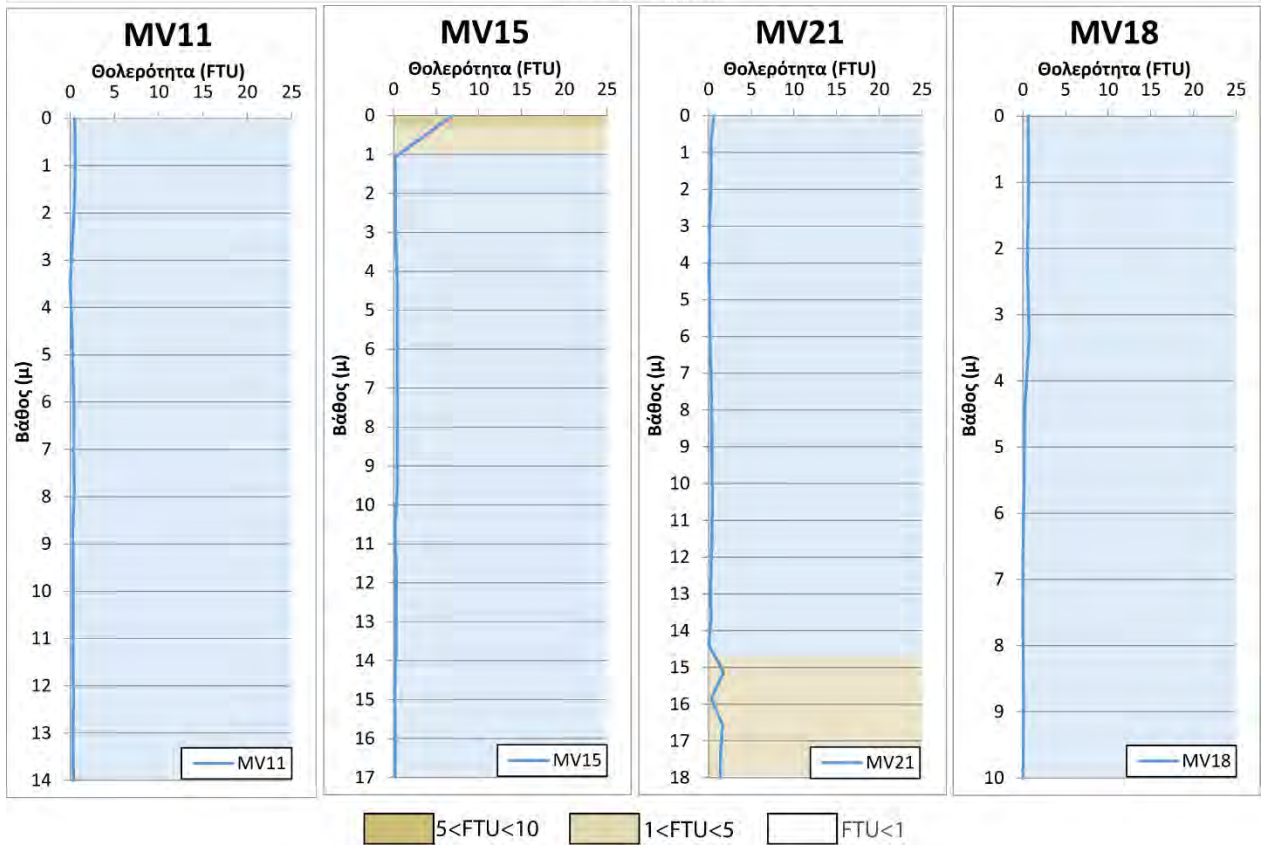
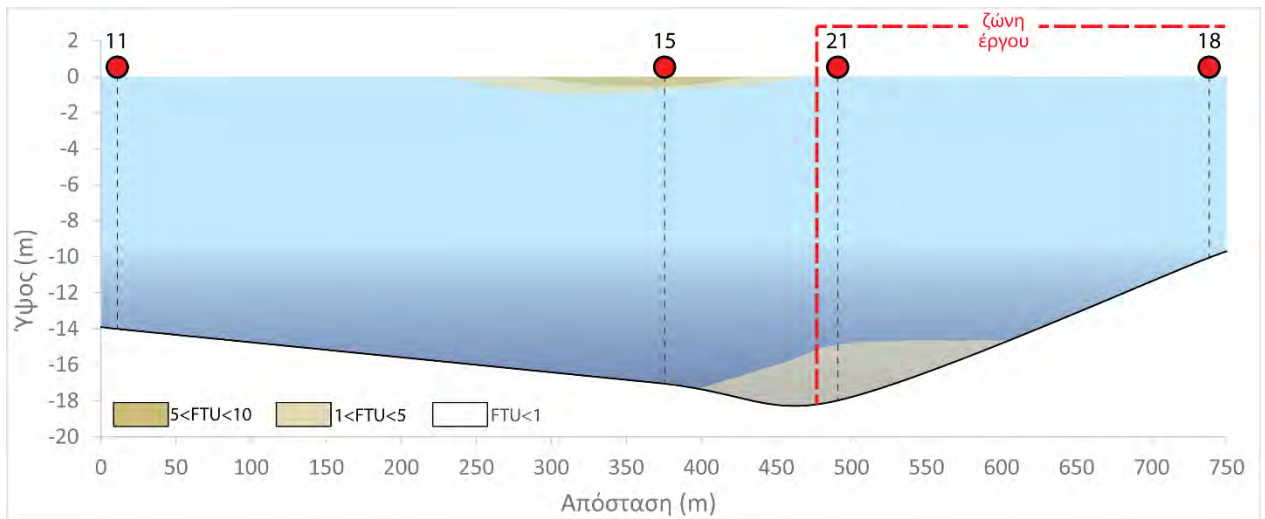
(α)



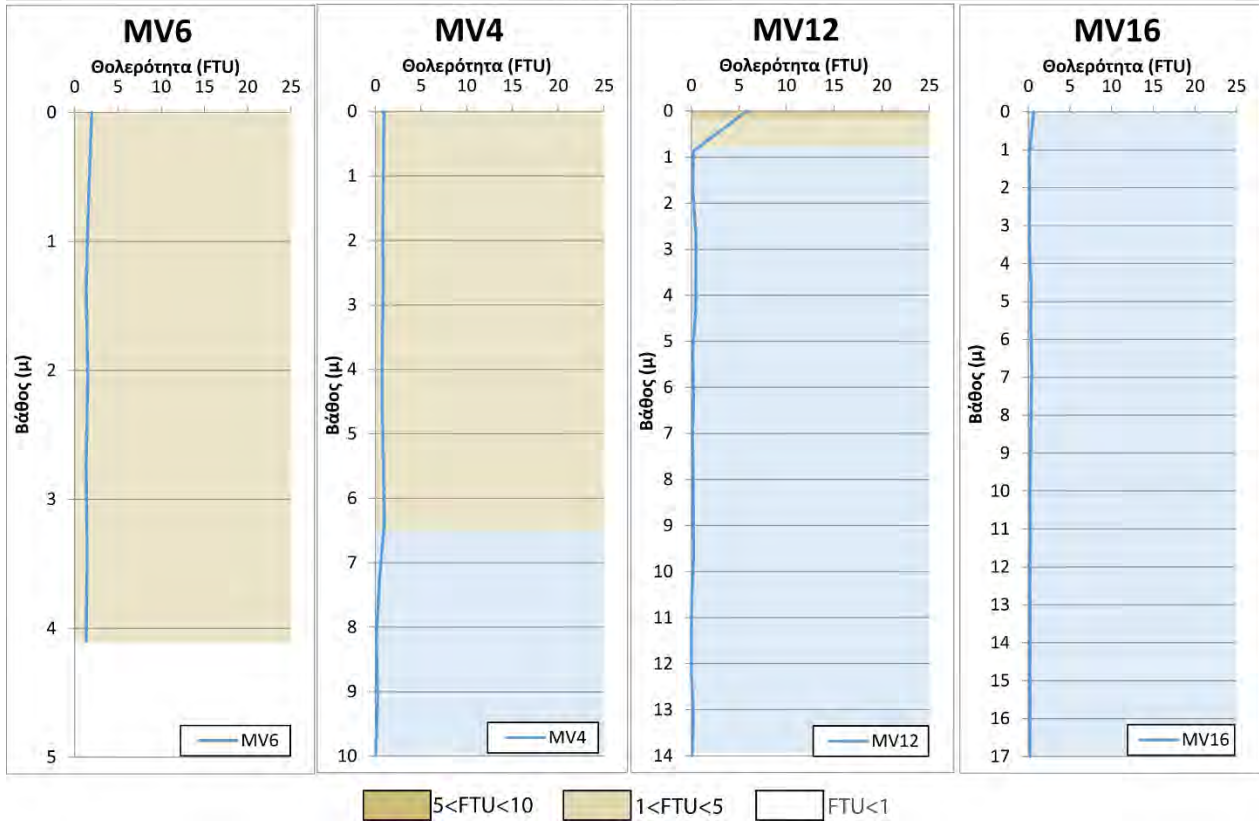
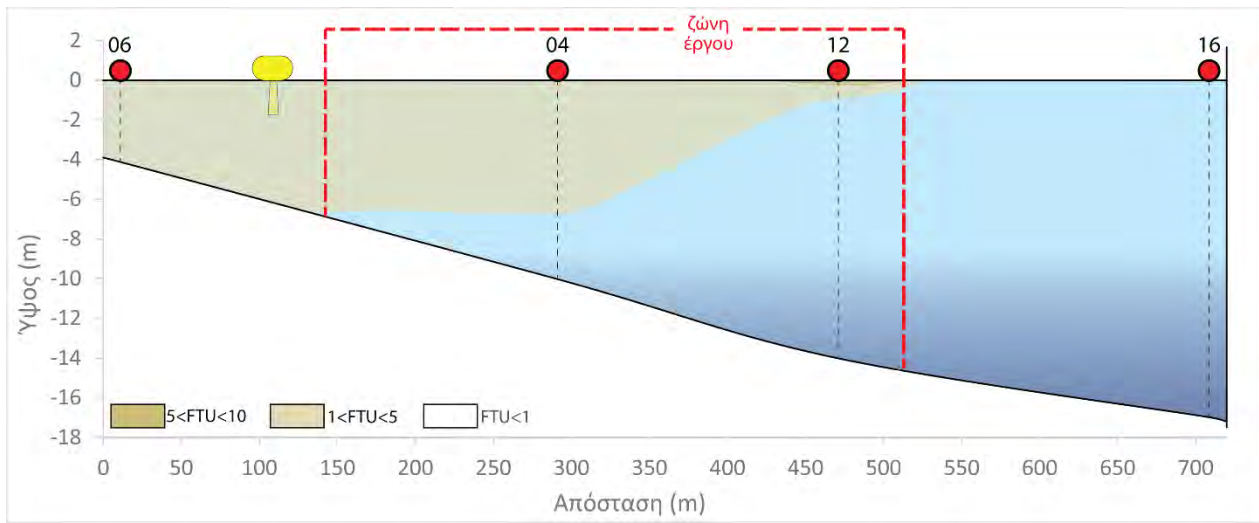
(β)



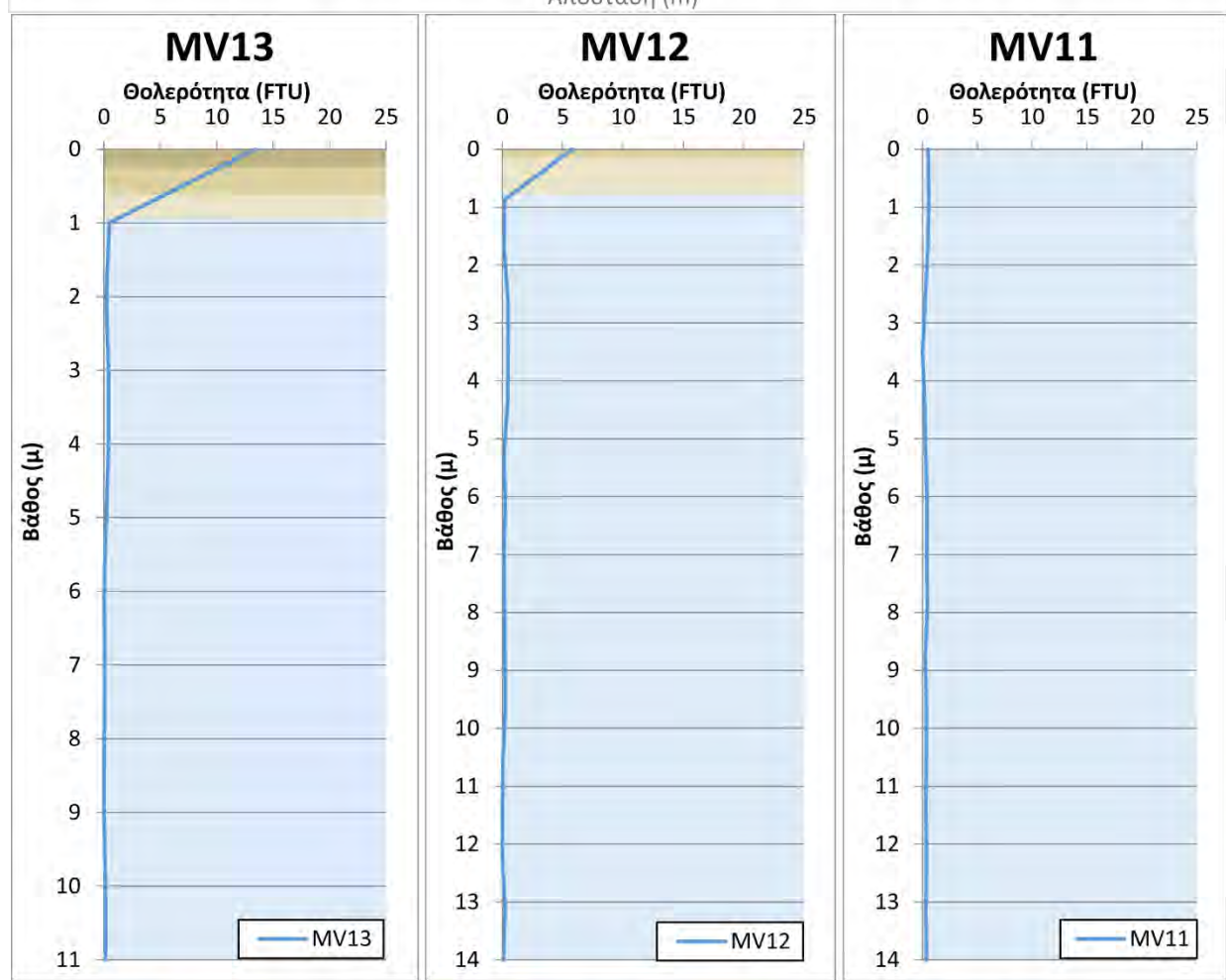
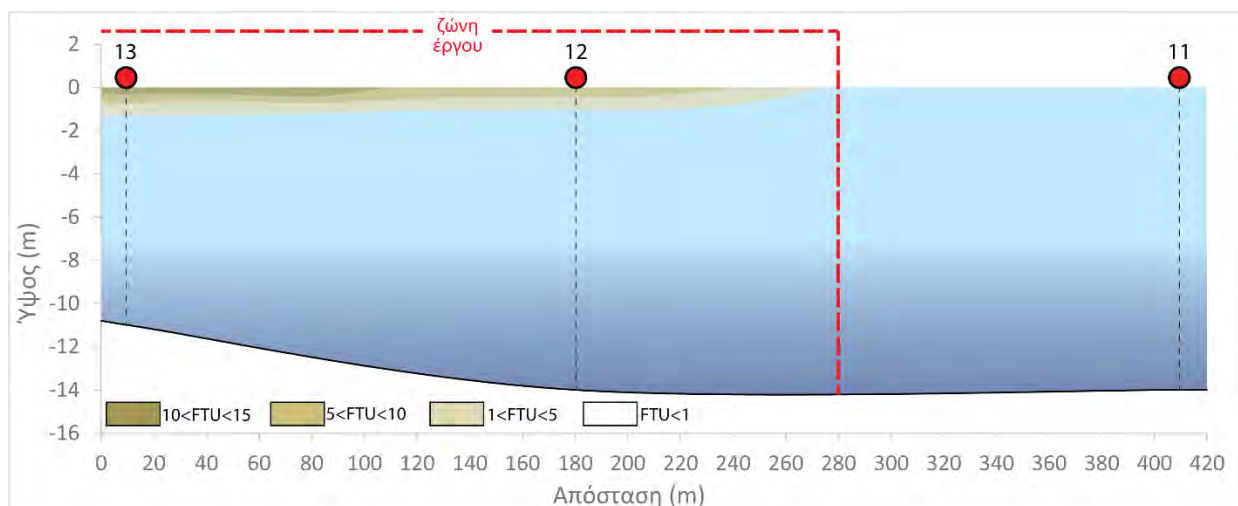
(γ)



(δ)



(ε)

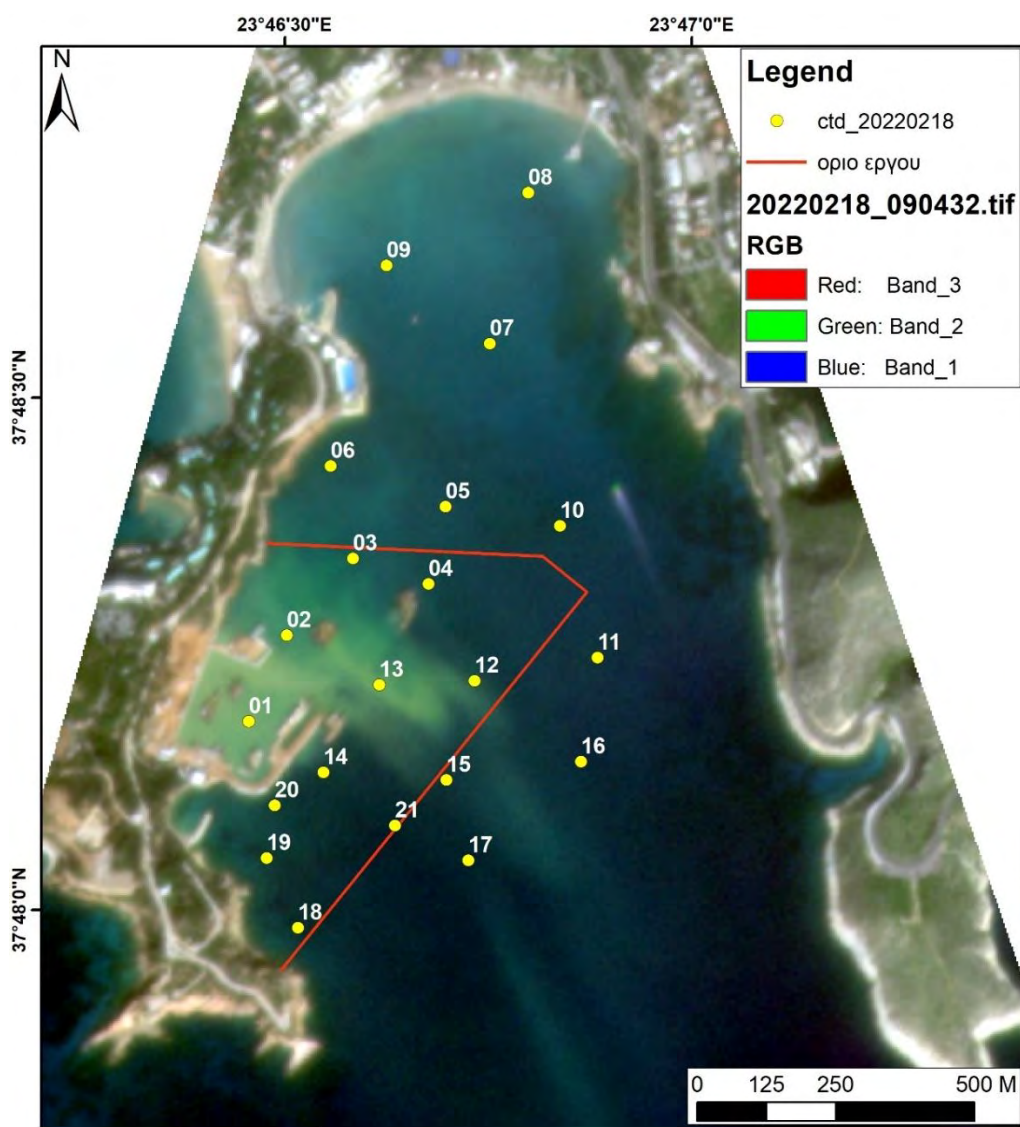


(στ)

**Εικόνα 6:** Σχηματική αναπαράσταση της διασποράς/διάχυσης του παραγόμενου νεφελώματος από τις εργασίες εκσκαφής/βυθοκόρησης της 18<sup>ης</sup> Φεβρουαρίου 2022. Για τις θέσεις των μετρήσεων βλέπε την Εικόνα 3.

Γενικά, οι μετρήσεις της θολερότητας έδειξαν ότι η διασπορά/διάχυση του νεφελώματος που παρήχθη από τις εργασίες εκσκαφής/βυθοκόρησης της 18<sup>ης</sup> Φεβρουαρίου 2022 περιορίστηκε σε μεγάλο ποσοστό εντός των ορίων του τεχνικού έργου, με εξαίρεση την περιοχή νοτιοανατολικά της ζώνης έργου, όπου παρατηρείται διασπορά προς τα νότια του κόλπου της Βουλιαγμένης. Παρότι δεν παρατηρήθηκε σημαντική διαφυγή αιωρούμενου ιζήματος στο βόρειο τμήμα του Όρμου συστήνεται η άμεση επανατοποθέτηση των γεωκουρτινών λύσος στο βορειοανατολικό και ανατολικό όριο του έργου για να αποφευχθεί πιθανό μελλοντικό επεισόδιο αύξησης της θολερότητας στον Όρμο.

Επιπρόσθετα, από τη δορυφορική εικόνα που ελήφθη κατά τη διάρκεια των εργασιών εκβάθυνσης της 18<sup>ης</sup> Φεβρουαρίου 2022 (11:04 ώρα Ελλάδας), επιβεβαιώνεται ότι το επιφανειακό πλούμιο των επανααιωρούμενων ιζημάτων περιορίζεται γενικά εντός των ορίων του τεχνικού έργου και δεν διασκορπίζεται / διαχέεται στην ευρύτερη περιοχή του Όρμου Βουλιαγμένης, με εξαίρεση τη νότια περιοχή (Εικόνα 7).



**Εικόνα 7:** Δορυφορική εικόνα της περιοχής του έργου της Μαρίνας Βουλιαγμένης, με τα όρια διασποράς/διάχυσης του επιφανειακού νεφελοειδούς στρώματος (πλούμιου), το οποίο προέκυψε από τις εργασίες βυθοκόρησης της 18<sup>ης</sup> Φεβρουαρίου 2022 (11:04 ώρα Ελλάδας).

## Συμπεράσματα

Η θολερότητα που προέκυψε στην υδάτινη στήλη από τις εργασίες βυθοκόρησης στη Μαρίνα Βουλιαγμένης κατά την 18<sup>η</sup> Φεβρουαρίου 2022 παρουσιάστηκε ελαφρώς αυξημένη εντός και στην νέα έξοδο της υπό διαμόρφωση λιμενολεκάνης. Οι μέγιστες τιμές είναι 62,6 FTU και εντοπίζονται σε περιοχή που προβλέπεται να τροποποιηθεί κατά τη διάρκεια του έργου. Επομένως, δεν αναμένεται να επηρεάσει αρνητικά το ποιοτικά φτωχό οικοσύστημα της λιμενολεκάνης.

Εκτός της λιμενολεκάνης, σε απόσταση έως 100 m από τα σημεία των ενεργών θέσεων εκσκαφής/βυθοκόρησης («κοντινά πεδία»), η θολερότητα δημιουργεί συνθήκες που χαρακτηρίζονται από «Εξαιρετικές» έως «Ικανοποιητικές» για τους θαλάσσιους οργανισμούς.

Επισημαίνεται ότι οι τιμές της θολερότητας που μετρήθηκαν στα «μακρινά πεδία», δηλαδή σε περιοχές που βρίσκονται σε απόσταση 100 m και έως 200 m από τα σημεία ενεργής βυθοκόρησης, κυμάνθηκαν σε «εξαιρετικά» έως «Ανεκτά» επίπεδα (<18 FTU) για παράκτια ύδατα, και θεωρούνται απόλυτα ασφαλείς για το τοπικό θαλάσσιο οικοσύστημα του Όρμου Βουλιαγμένης.

Τέλος, διαπιστώθηκε ότι το παραγόμενο από τις εργασίες βυθοκόρησης νεφέλωμα δεν διαχύθηκε προς το βόρειο τμήμα του Όρμου Βουλιαγμένης. Οι τιμές θολερότητας στις περιοχές εκτός των ορίων του έργου και σε απόσταση 200 έως 500 m κυμαίνονταν από 0,0 έως 1,2 FTU, με την κατάσταση του ύδατος να χαρακτηρίζεται «εξαιρετική» έως «Φυσιολογική», ενώ στο βόρειο, ρηχό τμήμα του κόλπου, οι τιμές θολερότητας δεν ξεπερνούν τα 1,8 FTU, με την κατάσταση του ύδατος να χαρακτηρίζεται «εξαιρετική» έως «Φυσιολογική».

## Βιβλιογραφία

- Bundgaard, K. (2020). Assessing and evaluating environmental turbidity limits for dredging. *Terra et Aqua*, 159, 27-42.
- Capello, M., Cutroneo, L., Ferranti, M. P., Budillon, G., Bertolotto, R. M., Ciappa, A., ... Tucci, S. (2014). Simulations of dredged sediment spreading on a *Posidonia oceanica* meadow off the Ligurian coast, Northwestern Mediterranean. *Marine pollution bulletin*, 79(1-2), 196-204.
- Clarke, D., Wilber, D. (2008). Compliance monitoring of dredging-induced turbidity: defective designs and potential solutions. In proceedings of the *Western Dredging Association 28th technical conference* (pp. 129-142).
- Houngnandan, F., Kéfi, S., Deter, J. (2020). Identifying key-conservation areas for *Posidonia oceanica* seagrass beds. *Biological Conservation*, 247, 108546.
- Kanellopoulos, T.D., Panagiotopoulos, I.P., Karageorgis, A.P., Kikaki, A., Morfis, I., Hatiris, G.A., Kapsimalis, V. (2020). Assessment of the physical impact of a short-term dredging operation on a semi-enclosed environment: South Euboean Gulf, Greece. *Environmental Monitoring and Assessment*, 192(1), 1-20.
- Li, C., Zhang, Y. H., Wu, X. X., Jiang, Y. S., Li, W. T., Zhang, P. D. (2021). Changes in survival and growth in response to different combinations of turbidity and duration in eelgrass *Zostera marina* plants. *Estuarine, Coastal and Shelf Science*, 249, 107108.
- Luger, S.A., Schoonees, J.S., Mocke, G.P., Smit, F. (1998). Predicting and evaluating turbidity caused by dredging in the environmentally sensitive Saldanha Bay. In *Proceedings of the 26th International Conference on Coastal Engineering*, Copenhagen, Denmark (Vol. 3, pp. 3561-3574). Reston: American Society of Civil engineers.
- McCaffrey, S., Catchment, N. (2018). *Water Quality Parameters and Indicators*. Waterwatch, New South Wales.
- Ruiz, J. M., Romero, J. (2003). Effects of disturbances caused by coastal constructions on spatial structure, growth dynamics and photosynthesis of the seagrass *Posidonia oceanica*. *Marine pollution bulletin*, 46(12), 1523-1533.
- van Rijn, L.C. (2019). Turbidity due to dredging and dumping of sediments. <https://www.leovanrijnsediment.com/papers/Turbiditydredging2020.pdf>

## ΠΑΡΑΡΤΗΜΑ

MV1		MV2		MV3		MV4		MV5		MV6		MV7		MV8		MV9		MV10		MV11	
depth (m)	ftu	depth (m)	ftu	depth (m)	ftu	depth (m)	ftu	depth (m)	ftu	depth (m)	ftu	depth (m)	ftu	depth (m)	ftu	depth (m)	ftu	depth (m)	ftu	depth (m)	ftu
0,0	22,1	0,0	3,3	0,0	1,5	0,0	0,9	0,0	1,1	0,0	2,0	0,0	1,2	0,0	1,2	0,0	1,5	0,0	0,5	0,0	0,5
0,9	23,0	0,8	10,8	0,7	2,7	0,9	0,9	0,9	1,2	0,7	1,6	0,6	1,5	0,6	1,3	0,5	1,4	0,5	0,7	0,9	0,6
1,8	24,5	1,5	13,3	1,4	3,1	1,8	0,8	1,8	1,1	1,4	1,3	1,3	1,4	1,2	1,4	1,0	0,9	1,1	0,6	1,8	0,5
2,7	22,7	2,3	14,4	2,2	2,2	2,7	0,8	2,7	1,1	2,1	1,5	1,9	0,9	1,8	1,6	1,6	0,8	1,6	0,4	2,6	0,2
3,7	23,6	3,0	26,9	2,9	2,1	3,6	0,8	3,6	0,8	2,7	1,3	2,5	0,6	2,4	1,5	2,1	0,7	2,1	0,5	3,5	0,0
4,6	23,3	3,8	31,0	3,6	1,7	4,5	0,7	4,5	0,6	3,4	1,4	3,1	0,3	3,0	1,8	2,6	0,8	2,6	0,4	4,4	0,2
5,5	60,9	4,5	37,3	4,3	1,1	5,5	0,9	5,3	0,2	4,1	1,3	3,8	0,2			3,1	0,7	3,2	0,3	5,3	0,3
6,4	62,6			5,1	2,1	6,4	1,0	6,2	0,4			4,4	0,1					3,7	0,2	6,1	0,4
				5,8	2,1	7,3	0,5	7,1	0,4			5,0	0,1					4,2	0,1	7,0	0,4
				6,5	5,8	8,2	0,1	8,0	0,3									4,7	0,3	7,9	0,5
				7,2	4,0	9,1	0,3	8,9	0,2									5,3	0,3	8,8	0,3
				8,0	6,1	10,0	0,0	9,8	0,3									5,8	0,2	9,6	0,3
				8,7	11,2													6,3	0,3	10,5	0,3
				9,4	17,2													6,8	0,3	11,4	0,3
																		7,4	0,3	12,3	0,4
																		7,9	0,3	13,1	0,3
																		8,4	0,3	14,0	0,4
																		8,9	0,3		
																		9,5	0,2		
																		10,0	0,3		

MV12		MV13		MV14		MV15		MV16		MV17		MV18		MV19		MV20		MV21	
depth (m)	ftu	depth (m)	ftu	depth (m)	ftu	depth (m)	ftu	depth (m)	ftu	depth (m)	ftu	depth (m)	ftu	depth (m)	ftu	depth (m)	ftu	depth (m)	ftu
0,0	5,8	0,0	13,4	0,0	0,2	0,0	6,9	0,0	0,6	0,0	0,3	0,0	0,6	0,0	0,4	0,0	0,2	0,0	0,6
0,9	0,2	1,0	0,5	1,1	0,1	1,1	0,2	1,1	0,1	1,0	0,4	1,1	0,7	0,8	0,3	0,6	0,1	0,7	0,3
1,8	0,1	2,0	0,2	2,2	0,0	2,1	0,2	2,3	0,2	1,9	0,2	2,2	0,5	1,6	0,1	1,2	0,0	1,4	0,3
2,6	0,5	3,0	0,4	3,3	0,2	3,2	0,3	3,4	0,1	2,9	0,2	3,3	0,7	2,3	0,3	1,8	0,1	2,2	0,2
3,5	0,5	4,0	0,4	4,4	0,1	4,3	0,4	4,5	0,3	3,8	0,2	4,4	0,2	3,1	0,2	2,4	0,1	2,9	0,1
4,4	0,4	5,0	0,2	5,6	0,0	5,3	0,5	5,7	0,3	4,8	0,1	5,6	0,1	3,9	0,2	3,0	0,0	3,6	0,1
5,3	0,1	6,0	0,0	6,7	0,3	6,4	0,4	6,8	0,4	5,7	0,4	6,7	0,0	4,7	0,1	3,6	0,3	4,3	0,1
6,1	0,2	7,0	0,1	7,8	0,1	7,4	0,4	7,9	0,3	6,7	0,5	7,8	0,0	5,4	0,3	4,1	0,2	5,0	0,1
7,0	0,1	8,0	0,0	8,9	0,3	8,5	0,5	9,1	0,3	7,6	0,5	8,9	0,1	6,2	0,3	4,7	0,6	5,8	0,2
7,9	0,2	9,0	0,0	10,0	0,3	9,6	0,4	10,2	0,2	8,6	0,5	10,0	0,0			5,3	0,1	6,5	0,2
8,8	0,2	10,0	0,2			10,6	0,2	11,3	0,3	9,5	0,4					5,9	0,0	7,2	0,3
9,6	0,2	11,0	0,2			11,7	0,3	12,5	0,2	10,5	0,4					6,5	0,0	7,9	0,4
10,5	0,1					12,8	0,3	13,6	0,2	11,4	0,2					7,1	0,1	8,6	0,4
11,4	0,0					13,8	0,3	14,7	0,2	12,4	0,4							9,4	0,4
12,3	0,0					14,9	0,1	15,9	0,2	13,3	0,2							10,1	0,4
13,1	0,2					15,9	0,2	17,0	0,2	14,3	0,0							10,8	0,4
14,0	0,1					17,0	0,2			15,2	0,0							11,5	0,4
										16,2	0,0							12,2	0,3
										17,1	0,0							13,0	0,2
										18,1	0,1							13,7	0,3
										19,0	0,3							14,4	0,0
																		15,1	1,8
																		15,8	0,3
																		16,6	1,6
																		17,3	1,4
																		18,0	1,4